

تدوین الگوریتم دو مرحله‌ای بهینه سازی اقتصادی سیستم‌های آبیاری تحت فشار

بهنام آبابایی^{۱*} - تیمور سهراپی ملایوسف^۲

تاریخ دریافت: ۲۹/۵/۸۸

تاریخ پذیرش: ۲۶/۴/۸۹

چکیده

از جمله روش‌های مرسوم طراحی سیستم‌های آبیاری تحت فشار، می‌توان به روش افت بار واحد (حداکثر گرادیان هیدرولیکی)، روش حداکثر سرعت جریان و روش درصد افت بار اشاره کرد. در این مطالعه، یک الگوریتم دو مرحله‌ای برای طراحی سیستم‌های آبیاری تحت فشار معرفی شده و در محیط برنامه نویسی LINGO توسعه داده شد. نتایج این مدل در یک سیستم آبیاری بارانی فرضی شامل سه لوله آبرسان (منیفلد) با روش‌های فوق مقایسه شد تا عملکرد این الگوریتم مورد ارزیابی قرار گیرد. نتایج نشان داد که الگوریتم بهینه سازی، به کاهش هزینه‌های یک سیستم آبیاری کوچک تا بیش از ۳ درصد و حصول یکنواختی توزیع مطلوب منجر می‌شود. همچنین مشاهده گردید که طراحی براساس معیار حداکثر گرادیان هیدرولیکی $m.m^{-1}$ و $0/0.02 m.m^{-1}$ ، به بالاترین مقدار یکنواختی توزیع منجر شده و پس از آن به ترتیب مدل بهینه‌سازی اقتصادی، روش حداکثر گرادیان هیدرولیکی $0/0.02 m.m^{-1}$ و روش حداکثر سرعت مجاز گرفتند. مقدار انحراف استاندارد دبی واقعی خروجی از هر آپاش نسبت به دبی اسمی آپاش‌های به کار رفته در سیستم، برای روش‌های طراحی بهینه سازی، حداکثر گرادیان هیدرولیکی $0/0.02 m.m^{-1}$ ، روش حداکثر گرادیان هیدرولیکی $0/0.05 m.m^{-1}$ و روش حداکثر سرعت مجاز، به ترتیب $1/0.03$ ، $0/0.05$ و $0/0.12$ لیتر در ثانیه برآورد شدند.

واژه‌های کلیدی : الگوریتم بهینه سازی اقتصادی، آبیاری تحت فشار، LINGO، WaterGEMS

مقدمه

روش‌های طراحی

افت بار: محدود کردن تلفات اصطکاک در شبکه اصلی به درصدی از متوسط فشار کارکرد گسیلنده‌ها (۸). همانطور که مشخص است، در هیچیک از روش‌های فوق، معیار دقیقی برای طراحی لوله‌ها را ارائه نشده و تنها به معروفی دامنه ای از معیارهای مرسوم بسته گردیده است. انتخاب دقیق معیار طراحی، بستگی کامل به شرایط فیزیکی مسئله و لحاظ کردن پارامترهای اقتصادی داشته و لحاظ کردن معیارهایی مبنی بر قضاوت شخصی، غالباً منجر به ضرر اقتصادی (بخصوص در بلند مدت) می‌شود.

هدف از این مطالعه، ارائه یک الگوریتم بهینه سازی برای طراحی سیستم‌های آبیاری تحت فشار به منظور بهینه سازی اقتصادی اجزاء سیستم و مقایسه عملکرد این الگوریتم با روش‌های موجود می‌باشد.

بهینه سازی ریاضی

روش‌های بهینه سازی ریاضی در امور مختلف مورد استفاده قرار گرفته‌اند. به عنوان نمونه از کاربرد این روش‌ها در مسائل مرتبط با مسائل آب می‌توان به توزیع بهینه آب در کالالهای آبیاری، طراحی و مدیریت بهینه سیستم‌های آبیاری قطربه ای با استفاده از روش‌های برنامه‌ریزی خطی، مدیریت بهینه منابع آب با استفاده از الگوریتم

طراحی زیرواحدهای آبیاری، با توجه به نوع محصول و عملکرد مورد انتظار سیستم و براساس حداکثر اختلاف فشار (یا اختلاف دبی) مجاز در طول واحد آبیاری انجام می‌شود. به عنوان نمونه، در شرایطی که توان معادله دبی - فشار گسیلنده‌ها برابر $0/5$ باشد، با قبول 20 درصد اختلاف فشار مجاز در طول واحد آبیاری، در حدود 10 درصد اختلاف دبی به عنوان اختلاف مجاز در طول واحد آبیاری پذیرفته و براین اساس، قطر مناسب لوله‌ها انتخاب می‌شود (۸). از جمله مهمترین و پرکاربردترین روش‌ها در طراحی لوله‌های اصلی عبارتند از: (الف) روش افت بار واحد (حداکثر گرادیان هیدرولیکی): محدود کردن افت بار در هر واحد از طول لوله. برای مثال، 2 واحد افت در 100 واحد طول لوله، (ب) روش حداکثر سرعت جریان: محدود کردن سرعت جریان، معمولاً بین $1/5$ تا 3 متر در ثانیه و (ج) روش درصد

۱- دانشجوی دکتری آبیاری و زهکشی و استاد گروه مهندسی آبیاری و آبادانی، دانشکده مهندسی و فناوری کشاورزی، دانشگاه تهران
۲- نویسنده مسئول: (Email: behnam.ab@gmail.com)

(e): فاکتور ارزش سالانه افزایش هزینه‌های انرژی که ارزش پول را در طول زمان سرمایه گذاری در نظر می‌گیرد، و CRF: سری بازپرداخت یکنواخت (فاکتور بازگشت سرمایه) است که ارزش پول در طول زمان سرمایه گذاری و هزینه‌های استهلاک سرمایه را در نظر می‌گیرد. به دلیل در نظر گرفتن ضرایب اطمینان، نرخ بهره در حدود ۱۰ درصد بیش از مقداری که معمولاً در شرایط امنیت مالی بالا در نظر گرفته می‌شود، تعیین می‌گردد (۸).

الگوریتم بهینه‌سازی اقتصادی

الگوریتم بهینه‌سازی پیشنهاد شده در این تحقیق، شامل دو زیرمدل می‌باشد: (الف) مدل بهینه‌سازی زیروحد آبیاری و (ب) مدل بهینه‌سازی خط اصلی. دلیل تقسیم فرایند بهینه‌سازی به این شکل این است که بهینه‌سازی همزمان کل سیستم، با توجه به کثرت متغیرها، فرایندی بسیار پیچیده و شامل محاسبات فراوان است.

الف) مدل اول: مدل بهینه‌سازی زیر واحد آبیاری

تابع هدف: بهینه‌سازی با هدف کاهش مجموعه هزینه‌های ثابت سالانه انجام می‌شود. هزینه ثابت هر لوله شامل هزینه خرید لوله (به صورت تابعی از قطر) می‌باشد. بنابراین، تابع هدف در مدل اول، به صورت تابعی از قطر لاترال‌ها و آبرسان‌ها (منیفلد‌ها)، به شکل زیر مورد استفاده قرار گرفت:

$$MIN : \sum_{m=1}^{N_m} \left[\sum_{mp=1}^{N_{mp}(m)} L_{mp(m)} \times f(D_{mp(m)}) + \sum_{lp=1}^{N_{lp}(m)} L_{lp(m)} \times f(D_{lp(m)}) \right] \quad (4)$$

که در آن L_{mp} و L_{lp} : به ترتیب طول هر قطعه از آبرسان و لاترال (متر)، D_{mp} و D_{lp} : به ترتیب قطر انتخاب شده برای هر قطعه از آبرسان و لاترال، N_{mp} و N_{lp} : به ترتیب تعداد کل قطعات آبرسان و لاترال، N_m : تعداد آبرسان‌ها و (m): اندیس مربوط به شماره آبرسان. نماد f : نشان دهنده تابعی از متغیر قطر لوله می‌باشد.

قیود

قید حداکثر و حداقل دبی گسیلنده‌ها: با توجه به یکنواختی مورد نظر در هر زیروحد آبیاری، که خود براساس تحلیل‌های اقتصادی و ارزش نهایی محصول و کیفیت مورد نیاز سیستم آبیاری تعیین می‌شود، قید حداکثر و حداقل دبی گسیلنده‌ها برای هریک از آبرسان‌ها به شرح زیر تعریف می‌شود:

$$\forall manifold : \begin{cases} QE_{ai} \leq 1.05 QE \\ QE_{ai} \geq 0.95 QE \end{cases} \quad (5)$$

که در آن QE_{ai} : دبی واقعی خارج شده از هریک از گسیلنده‌ها و QE : دبی اسمی (مورد انتظار) هریک از گسیلنده‌ها است.

معیار ۱۰ درصد اختلاف دبی مجاز در طول زیروحد آبیاری، با

زنگیک، بهینه‌سازی فرایند کنترل ایستگاه‌های پمپاژ در شبکه‌های آبیاری و زهکشی و طراحی بهینه شبکه‌های آبیاری با استفاده از الگوریتم ژنتیک اشاره کرد (۴، ۱۰، ۱۲، ۱۳ و ۱۴) همچنین به منظور طراحی بهینه شبکه خطوط لوله‌ها، نرم افزار هایی نیز تدوین شده اند که از آن جمله می‌توان به نرم افزار WaterGems V8^۱ اشاره کرد. نتایج الگوریتم پیشنهادی در این مقاله، با مقادیر شبیه‌سازی شده توسط نرم افزار WaterGEMS مورد مقایسه قرار گرفت.

مواد و روش‌ها

عوامل مؤثر در برآورد هزینه
در سیستم‌های آبیاری تحت فشار، بهترین اندازه (یا بهترین ترکیب از اندازه‌ها) برای لوله در خطوط اصلی، نیمه اصلی و فرعی، اندازه یا ترکیبی می‌باشد که منجر به تعادل منطقی بین هزینه‌های ثابت سالانه و هزینه‌های سالانه پمپاژ گردد. این تعادل بستگی دارد به ساعات کارکرد سالانه سیستم، نرخ مورد انتظار افزایش قیمت سوخت، قیمت لوله‌ها، عمر مورد انتظار سیستم، مشخصات لوله‌ها و نرخ سود سالانه. برای بهینه کردن هزینه‌های سیستم باید ترکیبی از اندازه لوله‌ها را بیاییم که منجر به حداقل شدن مجموع هزینه‌های ثابت و هزینه‌های بهره برداری گردد. تحلیل هزینه‌های سیستم می‌تواند بر اساس ارزش فعلی یا هزینه‌های سالانه صورت گیرد. در هردو مورد، نرخ بهره (سود)، طول دوره مورد انتظار سرمایه گذاری، و برآورد نرخ سالانه افزایش هزینه‌های آب و انرژی، باید در نظر گرفته شوند. فاکتور ارزش فعلی افزایش هزینه‌های انرژی، $PW(e)$ ، فاکتور ارزش سالانه افزایش هزینه‌های انرژی، $EAE(e)$ و فاکتور بازگشت سرمایه، CRF ، از روابط زیر که توسط پیرسون ارائه شده‌اند قابل محاسبه می‌باشند (۱۱) (۱).

$$PW(e) = \left[\frac{(1+e)^n - (1+i)^n}{(1+e) - (1+i)} \right] \left[\frac{1}{(1+i)^n} \right] \quad (1)$$

$$EAE(e) = \left[\frac{(1+e)^n - (1+i)^n}{(1+e) - (1+i)} \right] \left[\frac{i}{(1+i)^n - 1} \right] \quad (2)$$

$$CRF = \left[\frac{i(1+i)^n}{(1+i)^n - 1} \right] \quad (3)$$

که در آن e : نرخ سالانه افزایش هزینه‌های انرژی (اعشار)، i : نرخ بهره (اعشار)، n : تعداد سال‌های طول عمر سیستم (دوره سرمایه گذاری)، $PW(e)$: فاکتور ارزش فعلی افزایش هزینه‌های انرژی که ارزش پول را در طول زمان سرمایه گذاری در نظر می‌گیرد،

ب) مدل دوم: مدل بینه سازی خط اصلی

پس از اجرای مدل اول، با استفاده از فشار و دبی (بینه) محاسبه شده هر زیرواحد، منحنی دبی- فشار بینه برای هر آبرسان تعیین می شود. این منحنی کاملاً شبیه به منحنی دبی- فشار گسیلندهای به کار رفته بروی لولهای فرعی (البته با ضریب بزرگتر) بوده و برای هر آبرسان به شکل رابطه ۱۰ نوشته می شود:

$$Q = A_m H^x \quad (10)$$

که در آن Q : دبی مورد نیاز آبرسان (از مدل اول، لیتر در ثانیه)، H : فشار در ابتدای آبرسان (از مدل اول، متر)، A_m : ثابت معادله، و x : توان معادله دبی- فشار گسیلندهای بکار رفته در هر زیرواحد می باشد. در اجرای مدل دوم، به جای هریک از آبرسانها از رابطه ۱۰ برای در نظر گرفتن دبی و فشار مورد نیاز آن آبرسان استفاده می شود. تابع هدف: هزینه های ثابت سالانه هر لوله (بدون هزینه های نصب) را می توان به شکل رابطه زیر بیان نمود:

$$C_p = M_p \times CRF(n,i) \quad (11\text{-الف})$$

$$C_p = M_p \quad (11\text{-ب})$$

که در آن C_p : هزینه های ثابت سالانه لوله p ، M_p : هزینه های ثابت لوله p ، و $CRF(n,i)$: فاکتور بازگشت سرمایه با نرخ سود i و زمان سرمایه گذاری n سال می باشد. هزینه ثابت هر لوله شامل هزینه خرید لوله (تصویر تابعی از قطر) است.

$$M_p = L_p \times f(D_p) \quad (12)$$

که در آن L_p : طول لوله p و $f(D_p)$: قیمت هر واحد طول لوله به صورت تابعی از قطر لوله می باشد.

هزینه سوخت (انرژی) در هر سال از رابطه زیر محاسبه می شود:

(الف) برای ارزش سالانه هزینه ها

$$En_s = \frac{HP_s \times QP_s \times k \times T \times PEN \times EAE(n,e,i)}{\eta_s} \quad (13\text{-آ})$$

(ب) برای ارزش فعلی هزینه ها

$$En_s = \frac{HP_s \times QP_s \times k \times T \times PEN \times PW(n,e,i)}{\eta_s} \quad (13\text{-ب})$$

که در آن En_s : هزینه انرژی مصرفی پمپ در نوبت آبیاری s ، HP_s : فشار مورد نیاز سیستم در نوبت آبیاری s ، QP_s : شدت جریان مورد نیاز سیستم در نوبت آبیاری s ، T : زمان کار سیستم در هر سال، PEN : هزینه تولید هر واحد توان، $EAE(n,e,i)$: فاکتور ارزش سالانه افزایش هزینه های انرژی با نرخ e و نرخ سود (بهره) i با در نظر گرفتن طول دوره سرمایه گذاری n سال، η_s : فاکتور ارزش فعلی افزایش هزینه های انرژی با نرخ e و نرخ سود (بهره) i با در نظر گرفتن طول دوره سرمایه گذاری n سال، η_s : راندمان پمپ در نوبت آبیاری s ، و k : ثابت تبدیل واحد است. راندمان پمپ از رابطه

توجه به یکنواختی توزیع مورد انتظار قابل تغییر است. قید قطر لوله ها: قطر هر لوله باید برابر با یا کوچکتر از قطر لوله قبل از آن باشد.

$$\forall p1, p2 : D_{p1} \geq D_{p2} \quad (6)$$

یعنی هم در آبرسانها و هم در لاترالها، قطر بخش بالادست باید برابر با یا بزرگتر از قطر بخش پایین دست آن باشد. علاوه، قطر قسمت اول لاترالها باید کوچکتر از یا مساوی با قطر قسمت بالادست لاترال در آبرسان باشد.

قیود پیوستگی جریان: میزان دبی خارج شده از گسیلندهای هر لاترال باید برابر با دبی وارد شده به آن لاترال باشد. همچنین مجموع دبی وارد شده به تمامی لاترالها در هر آبرسان، باید با دبی وارد شده به آن آبرسان برابر باشد.

$$\sum_{i=1}^{N_{el}} QE_{ai} = Q_l \quad (7\text{-الف})$$

$$\sum_{i=1}^{N_l} Q_l = Q_m \quad (7\text{-ب})$$

که در آن N_{el} : تعداد خروجی روی هر لاترال، N_l : تعداد لاترالها در هر آبرسان، QE_{ai} : دبی واقعی خارج شده از گسیلندهای i ، Q_l : دبی وارد شده به هر آبرسان و Q_m : دبی وارد شده به هر لاترال. قید حداکثر سرعت مجاز در لاترال ها به ۲ متر در ثانیه و در آبرسانها به ۳ متر در ثانیه محدود می شود (۸).

محاسبه افت اصطکاک: در هر دو مدل، محاسبه افت اصطکاک با استفاده از رابطه هیزن- ولیامز انجام می پذیرد (۲):

$$h_f = 1.22 \times 10^{10} \times L \times \left(\frac{Q}{C} \right)^{1.852} \times D^{-4.871} \quad (8)$$

که در آن h_f : افت اصطکاک در لوله ها (متر)، L : طول هر قسمت از لوله (متر)، Q : دبی لوله (لیتر در ثانیه)، C : ضریب زبری هیزن ولیامز، و D : قطر داخلی لوله (میلیمتر) می باشد. در تمامی گره ها (محل قرار گرفتن آپیاش ها، محل اتصال لاترال ها به هر آبرسانها و محل اتصال آبرسانها به خط اصلی)، میزان فشار برابر است با مقدار فشار در گره بالادست منهای میزان افت فشار بعلاوه تغییرات ارتفاع (۳).

$$H_d = H_u - h_f + \Delta E \quad (9)$$

که در آن H_d : فشار در گره پایین دست (متر)، H_u : فشار در گره بالادست (متر)، h_f : افت اصطکاک در لوله بالادست (متر) و ΔE : اختلاف ارتفاع بین گره بالادست و پایین دست (متر) می باشد. شبی سرمازی منفی و شبی سربالایی مثبت در نظر گرفته شده است.

و کیفیت مورد انتظار سیستم می‌باشد. به عنوان یک پیشنهاد، از آنجایی که معمولاً مطلوب است که اختلاف دبی در طول واحد آبیاری، از 10% درصد تجاوز نکند (۸)، در صورتیکه پس از اجرای مدل بهینه‌سازی زیروحد آبیاری (مدل اول)، حداکثر اختلاف دبی در طول واحد آبیاری کمتر از 5% درصد محاسبه شد، می‌توان میزان اختلاف فشار مجاز بر روی خطوط اصلی را تا حدود $\pm 10\%$ درصد فشار مورد نیاز آبرسان‌ها (زمانیکه توان معادله آبرسان $5/0 =$ باشد) در نظر گرفت. اما اگر حداکثر اختلاف دبی در طول زیروحد آبیاری بیشتر از 5% درصد بود، بهتر است که اختلاف فشار مجاز روی خطوط اصلی و در ابتدای آبرسان‌ها به $\pm 5\%$ درصد فشار بهینه آنها محدود شود.

قیود پیوستگی جریان: مجموع جریان ورودی به تمامی آبرسان‌ها، باید برابر با دبی خروجی از پمپ باشد.

$$\sum_{m=1}^{N_m} Q_m = \sum_{m=1}^{N_m} A_m H_m^x = QP_s \quad (18)$$

که در آن Q_m : دبی هر آبرسان (لیتر در ثانیه)، H_m : فشار موجود در ابتدای هر آبرسان (متر)، QP_s : دبی پمپ در نوبت آبیاری s (لیتر در ثانیه) است. دبی هر یک از قسمت‌های لوله اصلی، از رابطه زیر محاسبه می‌شود:

$$Q_{i,s} = \sum_{z=1}^{N_{zi}} Q_{z,s} + \sum_{m=1}^N Q_{m,s} \quad (19)$$

که در آن $Q_{i,s}$: دبی لوله اصلی i در نوبت آبیاری s ، A_m : دبی لوله پایین دست لوله i در نوبت آبیاری s ، N_{zi} : آبرسان‌های واقع در انتهای لوله اصلی i در نوبت آبیاری s ، N : تعداد لوله‌های اصلی که در شبکه آبیاری، از لوله i در نوبت آبیاری s شوند، و N_p : تعداد آبرسان‌هایی که در انتهای لوله اصلی i در نوبت آبیاری s شده و در نوبت آبیاری s ، آبیاری می‌شوند. کاربرد شیر کنترل فشار: فشار ورودی به هر آبرسان، تحت تأثیر وجود یا عدم وجود شیر کنترل فشار قرار دارد:

$$H_m = (1 - M_{Valve})H + M_{Valve} \times H_{Valve} \quad (20)$$

که در آن M_{Valve} : متغیر باینری (دودیجی) که وجود یا عدم وجود شیر کنترل فشار در ابتدای آبرسان را نشان می‌دهد، H : فشار موجود در ابتدای آبرسان (روی خط اصلی)، و H_{Valve} : فشار تنظیمی شیر کنترل فشار (ورودی به آبرسان)، $M_{Valve} = 1$ ، فشار ورودی به آبرسان برابر با فشار شیر کنترل می‌باشد. در غیر این صورت، فشار ورودی به آبرسان همان فشار موجود در خط اصلی خواهد بود (۵). از افتهای موضعی صرفنظر شده است.

رابطه فشار-دبی پمپ: فیتز با برازش رگرسیون چند جمله‌ای به منحنی پمپ، مشاهده کرد که چند جمله‌ای درجه 3 معمولاً بهترین

۱۴ محاسبه می‌شود (۱).

$$\eta_s = A \times QP_s^2 + B \times QP_s + C \quad (14)$$

که در آن QP_s : شدت جریان پمپ (شدت جریان کل سیستم) در نوبت آبیاری s و A و B و C : ثابت‌های معادله می‌باشند که برای هر نوع پمپ توسط کارخانه سازنده اعلام می‌شوند.

استفاده از شیر کنترل فشار: بخش دیگری از هزینه‌های اولیه سیستم، شامل هزینه قراردادن شیرهای کنترل فشار در ابتدای آبرسان‌ها می‌باشد. مدل، در صورت نیاز، در ابتدای آبرسان‌ها یکی که نیاز به کاهش فشار دارند (یعنی فشار موجود در خط اصلی بیش از فشار بهینه محاسبه شده از رابطه 10% است)، از این شیرها استفاده کرده، هزینه این شیرها را بر سایر هزینه‌های سیستم می‌افزاید. در نهایت، تابع هدف این مدل بهینه‌سازی را می‌توان به شکل زیر ارائه نمود.

$$MIN : \sum_{s=1}^{N_S} En_s + \sum_{p=1}^{N_p} C_p + \sum_{m=1}^{N_m} CV_m \quad (15)$$

که در آن S : شماره نوبت آبیاری، P : شماره لوله اصلی، N_s و N_p : به ترتیب، تعداد نوبت آبیاری و تعداد لوله‌های اصلی سیستم آبیاری، En_s : هزینه انرژی مورد نیاز پمپ در نوبت آبیاری s در هر سال، C_p : هزینه‌های ثابت سالانه لوله p و CV_m : هزینه نصب شیرهای کنترل فشار در ابتدای آبرسان‌ها (در صورت نیاز).

قیود

قید قطر لوله‌ها: قطر هر لوله باید برابر با یا کوچکتر از قطر لوله قبل از آن باشد.

$$\forall p1, p2 : D_{p1} \geq D_{p2} \quad (16)$$

در رابطه بالا، لوله $p1$ قبل از لوله $p2$ قرار گرفته است. همچنین قطر قسمت اول هر آبرسان نیز باید از قطر لوله اصلی واقع در بالا دست آبرسان کوچکتر یا مساوی با آن باشد.

قید فشار: انتخاب قطر لوله‌های اصلی به نحوی انجام می‌پذیرد که اختلاف بین فشار موجود در ابتدای هر آبرسان با فشار مورد نیاز آن (فشار بهینه محاسبه شده از مدل اول) کمتر از مقدار مشخصی (در اینجا $\pm 5\%$ درصد از فشار بهینه) باشد.

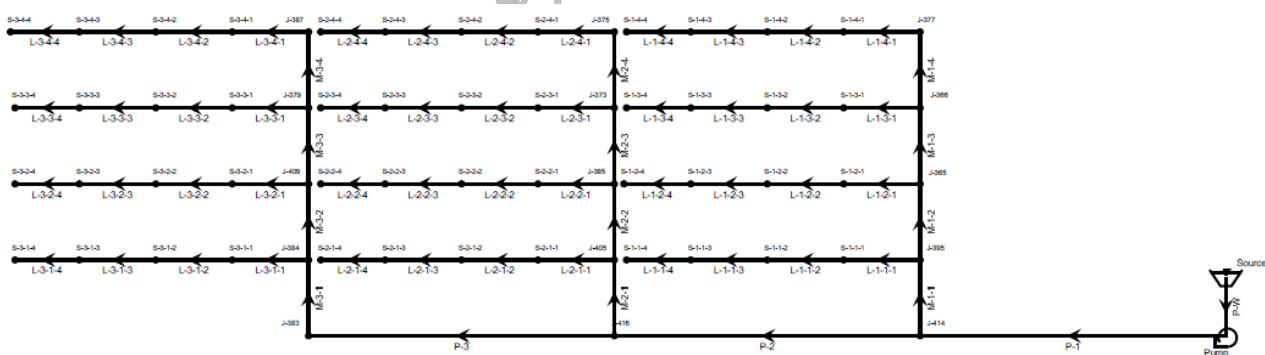
$$\forall manifold : \begin{cases} H_m \leq 1.05 \times H_{reqm} \\ H_m \geq 0.95 \times H_{reqm} \end{cases} \quad (17)$$

که در آن H_m : فشار موجود در ابتدای آبرسان (متر)، H_{reqm} : فشار مورد نیاز آبرسان (متر) که از مدل بهینه سازی زیروحد آبیاری (مدل اول) حاصل شده و ΔH_{allow} : اختلاف فشار مجاز بین فشار موجود و فشار مورد نیاز آبرسان (متر) می‌باشد. تصمیم گیری در مورد اختلاف فشار یا دبی مجاز، یک تصمیمی مدیریتی و مبتنی بر تحلیل اقتصادی

لاترال و هر لاترال شامل ۴ آپیاش (شکل ۱) بررسی شده و نتایج هر روش با روش بهینه سازی اقتصادی مورد مقایسه قرار گرفت (هر ۳ آبرسان همزمان آبیاری می شوند). از شبیب زمین در هر دو جهت صرفنظر شده است. خلاصه مشخصات سیستم و شرایط مسئله در جدول ۱ آورده شده است.

نتايج و بحث

برای تعیین قطر بهینه لوله ها در اولین مدل، از مشخصات لوله های تجاري موجود در بازار استفاده شد (جدول ۲). نتایج اجرای مدل بهینه سازی زیرواحد آبیاري (مدل اول) نشان می دهد که بهترین فشار برای دستيابي به یکنواختي مورد انتظار (حداکثر اختلاف دبى در طول واحد آبیاري کمتر از ۱۰ درصد)، ۳۴/۰۸۶ متر و دبى مورد نياز آبرسان تحت اين فشار، ۵۳/۷۵ ليتر در ثانية خواهد بود. به اين ترتيب می توان دریافت که ثابت معادله دبى - فشار آبرسان ، برابر با ۹/۲۰۶ مدل خواهد بود (توان معادله دبى، ۵/۰ است). از اين مقادير، در اجرای مدل دوم استفاده شد. نتایج حاصل از بهینه سازی خطوط اصلی (مدل دوم) نشان داد که برای دستيابي به یکنواختي توزيع مورد نظر، نيازی به نصب شيرهای كنترل (تنظيم) فشار در ابتدای واحدهای آبیاري نیست. لازم به يادآوری است که تمامی لاترال ها دارای ويزگی های فinizيکي مشابه هستند.



شکل ۱ - نمایی از سیستم آبادی، مورد نظر شامل نام لوله ها و گره ها

جدول ۱- پارامترهای مورد استفاده در ارزیابی روش‌های مختلف (مقادیر فرضی)

پارامترهای اقتصادی	شرح پارامتر	مقدار	شرح پارامتر	مقدار	مقدار
نرخ بهره (i)	نرخ افزایش قیمت سوخت (%)	%۲۰	طول دوره سرمایه‌گذاری (n)	۱۰ سال	%۱۰ واحد
زمان کار سیستم در سال (T)	قیمت سوخت	۱۰۰۰ ساعت	PW	۵/۸۱۰	EAE
دبي اسمی آپيشها	فشار اسمی آپيشها	۳/۳۳۳ لیتر در ثانیه	توان فشار در معادله آپيشها	۰/۵	۳۰ متر
فاراصله آپيشها روی لاترال	فاراصله لاترالها روی آبرسان	۲۰ متر	آرایش سیستم	۲۰ متر	

برازش را دارد (۴). لیکن، چپسون و دیویس مشاهده کردند که چند جمله ای درجه ۲ معمولاً در عمل مناسب و کافیست (۷). بنابراین، رابطه فشار-دی پمپ در هر نوبت آبیاری به شرح زیر در مدل مورد استفاده قرار گرفت:

$$HP_s = H_o - A_o \times Q {P_s}^2 \quad (21)$$

که در آن HP_S : فشار پمپ در نوبت آبیاری s ام (متر)، QPs : دبی پمپ در نوبت آبیاری s ام (لیتر در ثانیه)، و A_0 : ثابت های معادله می باشند.

برنامه نویسی مدل، شبیه سازی سیستم و طرح آزمایش

برنامه نویسی مدل ها، با استفاده از امکانات محیط برنامه نویسی LINGO (ویرایش ۸) صورت پذیرفت. این نرم افزار، فرایند ایجاد و حل مسائل بهینه سازی ریاضی را ساده تر و مؤثرتر می سازد (۹). بنابراین، برای هریک از مدلهای تشریح شده، یک مدل در نرم افزار LINGO ایجاد و برای اجرای مدل دوم، از نتایج مدل اول استفاده شد. شبیه سازی شرایط واقعی سیستم با استفاده از نرم افزار WaterGEMS (ویرایش ۸) انجام گرفت.

در این مقاله، کاربرد روش‌های طراحی شرح داده شده در بخش "روش‌های طراحی" در طراحی کلیه قسمت‌های یک سیستم آبیاری بارانی فرضی (طراحی تمام قسمت‌های لوله‌های فرعی، آبرسان‌ها و لوله‌های اصلی) شامل لوله اصلی مرکب از ۳ لوله متواالی، ۳ آبرسان هریک در انتهای یکی از بخش‌های خط اصلی و هریک شامل ۴

جدول ۲- مشخصات لوله‌های مورد بررسی

قطر خارجی (mm)	قطر داخلی (mm)	قیمت هر متر (واحد)
۱۳۷۶۰	۵۷	۶۳
۱۹۵۲۰	۶۷.۸	۷۵
۲۷۸۰۰	۸۱/۴	۹۰
۴۰۱۶۰	۹۹/۴	۱۱۰
۵۳۵۹۰	۱۱۳	۱۲۵
۸۷۰۰۰	۱۴۴/۶	۱۶۰
۱۰۸۷۵۰	۱۸۲/۸	۲۰۰
۱۲۰۰۰۰	۲۰۷/۸	۲۲۵
۱۳۶۰۰۰	۲۳۲/۸	۲۵۰
۱۶۰۰۰۰	۲۶۲/۸	۲۸۰

مجاز، حداکثر گرادیان هیدرولیکی 0.01 m.m^{-1} و حداکثر گرادیان هیدرولیکی 0.02 m.m^{-1} ، به ترتیب به $3/48$ و $1/15$ متر افت فشار منجر شده‌اند. توجه به میزان یکنواختی توزیع مورد انتظار، می‌توان پیش‌بینی کرد که روش حداکثر سرعت مجاز به بدترین طراحی آبرسان‌ها منجر شود.

در جدول ۵ مشاهده می‌شود که در روش بهینه‌سازی اقتصادی، مجموع افت اصطکاک در خط اصلی، $4/49$ متر است که در حدود ۱۵ درصد از فشار اسمی گسیلنده‌ها ($4/5 \text{ m}$) می‌باشد. بنابراین، می‌توان پیش‌بینی کرد که استفاده از روش درصد افت مجاز (محدود کردن افت فشار در خطوط اصلی به درصد مشخصی، مثل ۱۵ درصد، از فشار کارکرد گسیلنده‌ها) از لحاظ رسیدن به بالاترین یکنواختی توزیع در سیستم و کمینه کردن اختلاف فشار بین آبرسان‌های سری، نسبت به سایر روش‌ها دارای نتایج مطلوب‌تری باشد. البته معمولاً از این روش تنها در طراحی خط اصلی استفاده می‌شود (۸). مجموع افت اصطکاک در بخش‌های مختلف خط اصلی (جدول ۵) در روش‌های بهینه‌سازی اقتصادی، حداکثر سرعت مجاز و روش‌های حداکثر گرادیان هیدرولیکی 0.01 m.m^{-1} و 0.02 m.m^{-1} ، به ترتیب برابر است با $4/49$ ، $2/98$ و $6/81$ متر. با توجه به اینکه تأمین فشار مناسب در ابتدای آبرسان‌ها نقش تعیین‌کننده‌ای در میزان یکنواختی توزیع هر واحد آبیاری دارد، می‌توان چنین نتیجه گرفت که از این جنبه، روش حداکثر گرادیان هیدرولیکی 0.01 m.m^{-1} و پس از آن روش بهینه‌سازی اقتصادی، به بالاترین یکنواختی در توزیع فشار در خط اصلی (ابتدای واحدهای آبیاری) منجر می‌شوند.

هزینه سیستم آبیاری مورد نظر براساس روش‌های مختلف طراحی به شرح جدول ۶ می‌باشد. ارقام مندرج در این جدول مجموع هزینه‌های خرید لوله و هزینه‌های انرژی براساس ارزش فعلی و با توجه به پارامترهای اقتصادی ذکر شده در جدول ۱ را در بر می‌گیرند. با در نظر گرفتن طول دوره سرمایه‌گذاری و ارزش زمانی پول، روش بهینه‌سازی اقتصادی به کمترین مجموع هزینه سیستم منجر گردیده

شبیه‌سازی مدل WaterGEMS (نتایج به دلیل کمبود فضا ارائه نشده است) نشان می‌دهد که در روش بهینه‌سازی اقتصادی، سرعت جریان در لوله‌ها از $1/23$ متر در ثانیه (قطعه لوله L-۴-۴) تا $2/93$ متر در ثانیه (قطعه لوله اصلی P-1) متغیر و میزان گرادیان هیدرولیکی از 1 m.m^{-1} (قطعه لوله اصلی P-۳) تا 0.097 m.m^{-1} (قطعه لوله L-۱-۳-۴) متغیر است. بنابراین معیار حداکثر گرادیان هیدرولیکی بیکسانی (به عنوان مثال، معیار $1/100 \text{ m}$ گرادیان هیدرولیکی مجاز) را نمی‌توان برای تمامی قسمت‌های سیستم مورد استفاده نشان می‌دهد همچنین، روند تغییرات سرعت در بخش‌های مختلف نشان می‌دهد که استفاده از یک معیار واحد برای حداکثر سرعت مجاز در تمام بخش‌های سیستم آبیاری، نمی‌تواند به طراحی مناسبی منجر گردد. جدول ۳، نتایج مربوط به روش‌های مختلف طراحی برای تمامی لاترال‌ها در روش بهینه‌سازی و لاترال بحرانی در سایر روش‌ها را نشان می‌دهد. آنچه جلب توجه می‌کند این است که در این الگوریتم، با توجه به توزیع واقعی فشار در آبرسان‌ها، قطراهای مختلفی برای لاترال‌های واقع بر روی آبرسان‌ها انتخاب شده است. حال آنکه در روش‌های سنتی (که می‌توان آنها را روش‌های استاتیک نامید)، چنین حالی متصور نیست و معمولاً تنها به طراحی لاترال بحرانی توجه شده و از همین طراحی برای سایر لاترال‌ها نیز استفاده می‌شود. از ارقام جدول ۳ نتیجه گرفته می‌شود که در بین روش‌های فوق، روش حداکثر سرعت مجاز، به بیشترین افت ($3/64$ متر)، مجموع ارقام ردیف افت محاسبه شده در جدول ۳ و کمترین میزان یکنواختی در لاترال‌ها منجر شده و روش حداکثر گرادیان هیدرولیکی 0.01 m.m^{-1} در لاترال، کمترین افت را در لاترال‌ها ایجاد کرده و به بالاترین میزان یکنواختی توزیع منجر می‌گردد (تحلیل یکنواختی توزیع در ادامه ارائه می‌شود). روش بهینه‌سازی اقتصادی با متوسط $3/39$ متر افت فشار در هر لاترال، در حد میانه روش‌های قبلی قرار می‌گیرد. در طراحی آبرسان‌ها (جدول ۴)، روش بهینه‌سازی اقتصادی حداکثر منجر به $2/84$ متر افت فشار شده و روش‌های حداکثر سرعت

قدیمی تر، که در آنها دبی گسیننده ها نسبت به فشار ثابت در نظر گرفته می شوند، از این مزیت بی بهره اند و همواره مقدار محاسبه شده یکنواختی توزیع و سایر پارامترهای هیدرولیکی سیستم، با مقادیر واقعی فاصله دارند.

است. مزیت اساسی الگوریتم ارائه شده در این مقاله این است که با در نظر گرفتن تغییرات واقعی فشار در طول لوله ها و با توجه به توزیع واقعی فشار در تمامی بخش های سیستم آبیاری، میزان یکنواختی توزیع را نزدیک به مقدار واقعی محاسبه می کند. حال آنکه، روش های

جدول ۳- مقایسه نتایج روش های مختلف (لاترالها)

مجموع	قسمت				قطر داخلی	لترال
	۴	۳	۲	۱		
$\frac{۳}{۳۴}$	۵۷	۶۷/۸	۸۱/۴	۹۹/۴	حداکثر سرعت جریان ^۱	اول
	$\frac{۱}{۳۲}$	۱/۸۸	۱/۹۷	۱/۷۸	حداکثر افت ^۱	
$\frac{۲/۷}{۴}$	۰/۶۹	۱/۰۸	۰/۹۵	۰/۶۲	قطر داخلی	لترال دوم
	۵۷	۸۱/۴	۸۱/۴	۹۹/۴	حداکثر سرعت جریان	
$\frac{۲/۷}{۴/۴۳}$	$\frac{۱}{۳۲}$	۱/۳	۱/۹۶	۱/۷۶	حداکثر افت	لترال سوم
	۰/۶۹	۰/۴۴	۰/۹۵	۰/۶۲	قطر داخلی	
$\frac{۴/۴۳}{۴/۴۴}$	۴۵/۲	۶۷/۸	۸۱/۴	۹۹/۴	حداکثر سرعت جریان	چهارم
	۲	۱/۸۱	۱/۹	۱/۷۲	حداکثر افت	
$\frac{۳/۶۴}{۳/۴۴}$	۱/۹۴	۱/۰۱	۰/۸۹	۰/۵۹	قطر داخلی	(بهینه سازی اقتصادی)
	۵۷	۶۷/۸	۸۱/۴	۹۹/۴	حداکثر سرعت جریان	
$\frac{۳/۶۴}{۳/۴۴}$	$\frac{۱}{۲۷}$	۱/۸۱	۱/۹	۱/۷۱	حداکثر افت	
	۰/۶۴	۱/۰۱	۰/۸۹	۰/۵۸	قطر داخلی	
$\frac{۳/۶۴}{۳/۴۴}$	۵۷	۶۷/۸	۸۱/۴	۹۹/۴	حداکثر سرعت جریان	
	$\frac{۱}{۳}$	۱/۸۴	۱/۹۲	۱/۷۲	سرعت جریان محاسبه شده	
$\frac{۳/۶۴}{۳/۴۴}$	۰/۷۲	۱/۱۲	۰/۹۷	۰/۶۳	افت محاسبه شده	همه لترالها ^۲
	$\frac{۱}{۳۸}$	۱/۹۷	۲/۰۶	۱/۸۶	سرعت جریان شبیه سازی شده ^۱	
$\frac{۳/۶۴}{۳/۴۴}$	۰/۷۵	۱/۱۷	۱/۰۴	۰/۶۸	افت شبیه سازی شده ^۱	
$\frac{۱/۱۹}{۰/۶۹}$	۶۷/۸	۹۹/۴	۹۹/۴	۱۱۳	قطر داخلی	(حداکثر گرادیان هیدرولیکی $(2m/100m)$)
	۰/۹۲	۰/۸۶	۱/۲۹	۱/۳۳	سرعت جریان محاسبه شده	
$\frac{۱/۱۹}{۰/۶۹}$	۰/۳۱	۰/۱۷	۰/۳۷	۰/۳۴	افت محاسبه شده	همه لترالها
	۰/۹۶	۰/۸۹	۱/۳۴	۱/۳۸	سرعت جریان شبیه سازی شده	
$\frac{۱/۱۹}{۰/۶۹}$	۰/۳۱	۰/۱۷	۰/۳۷	۰/۳۴	افت شبیه سازی شده	
$\frac{۰/۶۹}{۰/۶۷}$	۸۱/۴	۹۹/۴	۱۱۳	۱۲۶/۶	قطر داخلی	(حداکثر گرادیان هیدرولیکی $(1m/100m)$)
	۰/۶۴	۰/۸۶	۱/۰۱	۱/۰۶	سرعت جریان محاسبه شده	
$\frac{۰/۶۹}{۰/۶۷}$	۰/۱۳	۰/۱۷	۰/۲	۰/۱۹	افت محاسبه شده	همه لترالها
	۰/۶۵	۰/۸۸	۱/۰۲	۱/۰۸	سرعت جریان شبیه سازی شده	
$\frac{۰/۶۹}{۰/۶۷}$	۰/۱۲	۰/۱۷	۰/۱۹	۰/۱۹	افت شبیه سازی شده	

۱. حداکثر سرعت جریان و تلفات اصطکاکی شبیه سازی شده در بین لترال های مختلف
۲. در روش های طراحی غیر از روش بهینه سازی، طراحی تمامی لترال ها مشابه فرض می شود. اما در روش بهینه سازی، هر لترال جداگانه طراحی می شود.

جدول ۴- مقایسه نتایج روش‌های مختلف (آبرسان‌ها)

	قسمت ۱	قسمت ۲	قسمت ۳	قسمت ۴	مجموع
	۹۹/۴	۱۱۳	۱۴۴/۶	۱۸۲/۸	قطر داخلی
	۱/۷۱	۲/۶۵	۲/۴۵	۲/۰۶	حداکثر سرعت جریان ^۱
۲/۸۴	۰/۵۸	۱/۱۳	۰/۷۳	۰/۴	حداکثر افت ^۱
	۹۹/۴ ^۲	۱۱۳	۱۴۴/۶	۱۶۲/۸	قطر داخلی ^۲
	۱/۷۲	۲/۶۶	۲/۴۳	۲/۵۶	سرعت جریان محاسبه شده
۳/۴۵	۰/۶۳	۱/۲۱	۰/۷۷	۰/۷۴	افت محاسبه شده
	۱/۸	۲/۸	۲/۵۸	۲/۷۴	سرعت جریان شبیه سازی شده ^۱
۳/۴۸	۰/۶۴	۱/۲۵	۰/۸۱	۰/۷۸	افت شبیه سازی شده ^۱
	۱۱۳	۱۴۴/۶	۱۸۲/۸	۲۰۷/۸	قطر داخلی
	۱/۳۳	۱/۶۲	۱/۵۲	۱/۵۷	سرعت جریان محاسبه شده
۱/۱۸	۰/۳۴	۰/۳۶	۰/۲۵	۰/۲۳	افت محاسبه شده
	۱/۳۷	۱/۶۷	۱/۵۷	۱/۶۳	سرعت جریان شبیه سازی شده ^۱
۱/۱۵	۰/۳۳	۰/۳۶	۰/۲۴	۰/۲۲	افت شبیه سازی شده ^۱
	۱۲۶/۶	۱۶۲/۸	۲۰۷/۸	۲۳۲/۸	قطر داخلی
	۱/۰۶	۱/۲۸	۱/۱۸	۱/۲۵	سرعت جریان محاسبه شده
۰/۶۵	۰/۱۹	۰/۲	۰/۱۳	۰/۱۳	افت محاسبه شده
	۱/۰۷	۱/۳	۱/۲	۱/۲۸	سرعت جریان شبیه سازی شده ^۱
۰/۶۴	۰/۱۹	۰/۲	۰/۱۳	۰/۱۲	افت شبیه سازی شده ^۱

۱. حداکثر سرعت جریان و تلفات اصطکاکی در بین آبرسان‌های مختلف

۲. بزرگتر یا مساوی با قطر اولین قسمت لاترال

جدول ۵- مقایسه نتایج روش‌های مختلف (قطعه خط اصلی)

	قطعه ۱	قطعه ۲	قطعه ۳	مجموع	نقطه طراحی پمپ
$Q = ۱۵۹/۲۳ \text{ Lit/s}$ $H = ۳۶/۱۷ \text{ m}$	----	۲۰۷/۸	۲۳۲/۸	۲۶۲/۸	قطر داخلی
	----	۱/۵۴	۲/۴۶	۲/۹۳	سرعت جریان
	۴/۴۹	۰/۸	۱/۶۸	۲/۰۱	افت
$Q = ۱۵۹/۸۴ \text{ Lit/s}$ $H = ۴۲/۱۲ \text{ m}$	----	۲۳۲/۸	۲۶۲/۸	۲۶۲/۸	قطر داخلی
	----	۲/۵۶	۲/۵	۲/۹۵	سرعت جریان محاسبه شده
	۷/۰۳	۲/۹۶	۱/۸۷	۲/۲	افت محاسبه شده
	----	۲/۷۸	۲/۵۷	۳/۰۸	سرعت جریان شبیه سازی شده ^۱
	۶/۸۱	۲/۷۸	۱/۸۳	۲/۲	افت شبیه سازی شده ^۱
$Q = ۱۵۹/۸۴ \text{ Lit/s}$ $H = ۳۴/۹۰ \text{ m}$	----	۱۸۲/۸	۲۶۲/۸	۲۹۷/۸	قطر داخلی
	----	۱/۵۷	۱/۹۶	۲/۲۹	سرعت جریان محاسبه شده
	۳/۱۳	۰/۹	۱/۰۴	۱/۱۹	افت محاسبه شده
	----	۱/۵۸	۱/۹۹	۲/۳۴	سرعت جریان شبیه سازی شده
	۲/۹۸	۰/۸۵	۰/۹۸	۱/۱۵	افت شبیه سازی شده
$Q = ۱۵۹/۸۴ \text{ Lit/s}$ $H = ۳۲/۴۸ \text{ m}$	----	۲۳۲/۸	۳۳۷/۸	۳۳۷/۸	قطر داخلی
	----	۱/۲۵	۱/۵۳	۱/۷۸	سرعت جریان محاسبه شده
	۱/۷۳	۰/۵۲	۰/۵۶	۰/۶۵	افت محاسبه شده
	----	۱/۲۶	۱/۵۴	۱/۸	سرعت جریان شبیه سازی شده
	۱/۶۲	۰/۴۸	۰/۵۳	۰/۶۱	افت

۱. حداکثر سرعت جریان و تلفات اصطکاکی در بین لاترال‌های مختلف

جدول ۶- مقایسه مجموع هزینه‌های سیستم در روش‌های مختلف طراحی

روش طراحی	هزینه ارزی	مجموع هزینه‌های سیستم	اختلاف با روش بهینه‌سازی	هزینه لوله‌ها
روش بهینه‌سازی اقتصادی	۸۳,۹۴۴,۴۰۰	۷۷,۴۷۴,۴۰۰	-	۱۶۱,۴۱۹,۰۰۰
روش حداکثر سرعت مجاز	۹۸,۳۴۵,۷۸۸	۶۵,۱۳۱,۲۰۰	-	۱۶۳,۴۷۶,۹۸۸
روش حداکثر گرادیان هیدرولیکی ^۱	۷۶,۴۴۹,۰۷۰	۸۹,۷۵۴,۰۰۰	-۰/۰۱ m.m ^{-۱}	۱۶۶,۲۰۳,۰۷۰
روش حداکثر گرادیان هیدرولیکی ^۱	۸۱,۴۹۴,۳۲۲	۸۴,۹۸۲,۸۰۰	-۰/۰۲ m.m ^{-۱}	۱۶۶,۴۷۷,۱۲۲

سرعت مجاز، حداکثر گرادیان هیدرولیکی $1\text{ m.m}^{-1}/0.01$ و روش حداکثر گرادیان هیدرولیکی $1\text{ m.m}^{-1}/0.02$ قرار می‌گیرند. اختلاف‌های مشاهده شده در هزینه سیستم آبیاری در روش‌های مختلف طراحی، در صورت بزرگ تر شدن سیستم، بارزتر می‌شوند.

در مجموع، با توجه به اینکه در بهینه‌سازی اقتصادی کلیه محاسبات براساس شرایط نزدیک به واقعی سیستم (ونه براساس محاسبات تقریبی) انجام می‌شود، طراحی با این روش همواره به عملکرد هیدرولیکی مورد نظر منجر می‌گردد. توجه به این نکته ضروریست که روش بهینه‌سازی اقتصادی یک روش هدفمند است و معیارهای هیدرولیکی سیستم پیش از طراحی تعیین و موردنظر قرار می‌گیرند. حال آنکه، در روش‌های سنتی تا پایان طراحی، مقادیر دقیق پارامترهای هیدرولیکی سیستم نامشخص بوده و انتخاب قطر لوله برای قسمت‌های مختلف به صورت سعی و خطا صورت می‌پذیرد. در نهایت توصیه می‌شود که روش‌های طراحی نسبت به شرایط واقعی حاکم بر مسئله مانند مقادیر واقعی نرخ بهره، قیمت واقعی سوخت و لوله‌ها و نیازهای کشاورز مورد ارزیابی قرار گرفته و انتخاب روش نهایی با در نظر گرفتن تمامی عوامل مؤثر بر طراحی انجام پذیرد.

نتایج شبیه‌سازی‌ها (جداول ارائه نشده‌اند) نشان می‌دهد که روش حداکثر گرادیان هیدرولیکی $1\text{ m.m}^{-1}/0.01$ ، به بالاترین میزان یکنواختی توزیع در بین آپیاش‌ها منجر شده است. روش حداکثر گرادیان $1\text{ m.m}^{-1}/0.02$ ، روش بهینه‌سازی اقتصادی (با هدف محدود کرد اختلاف دبی آپیاشها به $\pm 5\%$ نسبت به دبی آپیاش) و روش حداکثر سرعت مجاز در رده‌های بعدی قرار گرفته‌اند. مقدار انحراف استاندارد دبی واقعی خروجی از هر آپیاش نسبت به دبی اسمی آپیاش‌های به کار رفته در سیستم، برای روش‌های بهینه‌سازی، حداکثر گرادیان هیدرولیکی $1\text{ m.m}^{-1}/0.01$ ، حداکثر گرادیان هیدرولیکی $1\text{ m.m}^{-1}/0.02$ و حداکثر سرعت مجاز، به ترتیب 0.01 , 0.03 , 0.05 و 0.12 /لیتر در ثانیه برآورد گردید.

نتیجه گیری

مقایسه نتایج الگوریتم پیشنهادی با سایر روش‌های سنتی (استاتیک) طراحی سیستم‌های آبیاری تحت فشار در مورد یک سیستم آبیاری بارانی فرضی نشان داد که در بین روش‌های استاتیک، روش حداکثر گرادیان هیدرولیکی $1\text{ m.m}^{-1}/0.01$ دارای کمترین میزان افت اصطکاک و روش حداکثر سرعت مجاز دارای بیشترین مقدار افت اصطکاک می‌باشد. همچنین، روش بهینه‌سازی اقتصادی به کمترین میزان مجموع هزینه‌ها منجر می‌شود. پس از آن، روش حداکثر

منابع

- تائبی ا. و چمنی م. ۱۳۸۴. شبکه‌های توزیع آب شهری. مرکز نشر دانشگاه صنعتی اصفهان. ص ۶۲۲
- سهرابی ت. و پایدار ز. ۱۳۸۴. اصول طراحی سیستم‌های آبیاری. موسسه انتشارات و چاپ دانشگاه تهران. ص ۴۰۶.
- علیزاده ا. ۱۳۸۴. طراحی سیستم‌های آبیاری. چاپ ششم (با تجدید نظر). دانشگاه امام رضا (ع). ص ۵۸۴.
- Chen Y.M. 1997. Management of Water Resources Using Improved Genetic Algorithms. Computers and Electronics In Agriculture, 18(2):117-127.
- Fietz T. 1973. Improved Head-Discharge Relations for Pipe Network Analysis by Loop Method. Hydraulic Researchm, 2(11):136-123.
- Fietz T. 1977. Discussion of pressure reducing valves in pipe network analysis. Journal of Hydraulic Div, 103(5):578-580.
- Jeppson R.W., Davis A.L. 1977. Closure to Pressure Reducing Valves in Pipe Network Analysis. Journal of Hydraulic Div., ASCE. 103(11):1362-1372.
- Keller J., Bliesner R.D. 2001. Sprinkler and Trickel Irrigation. Van Nostrand Reinhold. pp 652.
- Lingo User's Guide. 2008. Lingo System Inc.
- Muspratt M.A. 1971. Optimal distribution of water to irrigation canals. Journal of Hydrology, 14(1):19-28.

- 11- Pearson G.F. 1974. Life-Cycle Costing in an Energy Crisis Area. Professional Engineer, July, 44(7):26-29.
- 12- Saad J., Frizzzone J. 1996. Design and Management Optimization of Trickle Irrigation Systems Using Non-Linear Programming. Agriculture Engineering, 64(2):109-118.
- 13- Sabbagh E., Sinai G. 1988. A Model For Optimal Real-Time Computer Control of Pumping Stations in Irrigation Systems. Computers and Electronics in Agriculture, 3(2):119-133.
- 14- Sanchez G., Felici S., Pelechano J., Pelegri J., and Perez J. 1999. Optimal Design of Irrigation Networks Using a Genetic Algorithm. 7th IEEE International Conference on Emerging Technologies and Factory Automation, 947-941.

Archive of SID



Development of a Two-Stage Economic Optimization Algorithm for Pressurized Irrigation Systems

B. Ababaei^{1*}- T. Sohrabi²

Abstract

Some of common hydraulic methods for designing pressurized irrigation systems are: (i) unit head loss method, (ii) (maximum allowable) velocity method, and (iii) percent head loss method. In this research, a two-stage economic optimization algorithm was introduced to design pressurized irrigation systems and was developed in LINGO programming environment. Results obtained by this model were compared with the ones from the foregoing hydraulic methods for a hypothetical sprinkle irrigation system comprised of 3 manifolds to assess the performance of the new algorithm. The results showed that this optimization algorithm resulted in 3% lower costs for a small irrigation system and favorable distribution uniformity. Also it was concluded that system design according to unit head loss method with maximum 0.01 m.m^{-1} head loss resulted in the highest distribution uniformity in comparison to the other methods and the optimization algorithm, unit head loss method with maximum 0.02 m.m^{-1} head loss and maximum allowable velocity method followed it. The standard deviation of the sprinklers outflow values as compared to the namely outflow value were estimated 0.1, 0.03, 0.05 and 0.12 lit.s^{-1} for the optimization method, unit head loss method with maximum 0.01 m.m^{-1} head loss, unit head loss method with maximum 0.02 m.m^{-1} head loss, maximum allowable velocity method, respectively.

Keywords: Economic optimization algorithm, Pressurized irrigation, *LINGO*, *WaterGEMS*

^{1,2} - PhD Candidate student Irrigation and Drainage and Professor Department of Irrigation and Reclamation Engineering, Faculty of Agricultural Engineering and Technology, University of Tehran
(* - Corresponding Author Email: behnam.ab@gmail.com)